## PSI 2024-2025

# DS N°2 – Sujet B

Corrigé

Prothèse myoélectrique (Inspiré de CCINP – PSI – 2012)

## Parti I : Etude de la cinématique de la transmission et du préhenseur

## Détermination du gain du mécanisme préhenseur

## Q1- Fermeture géométrique

La fermeture géométrique du cycle 1-3-5-4-1 s'écrit :  $\overrightarrow{AB} + \overrightarrow{BC} + \overrightarrow{CD} + \overrightarrow{DA} = \overrightarrow{0}$ 

$$AB + BC + CD + DA = 0$$

Soit: 
$$-d.\overrightarrow{x_3} - h.\overrightarrow{y_5} - d.\overrightarrow{x_4} + h.\overrightarrow{y_1} = \overrightarrow{0}$$
  $\iff$   $h.\overrightarrow{y_5} = h.\overrightarrow{y_1} - d.\overrightarrow{x_3} - d.\overrightarrow{x_4}$ 

h. 
$$\overrightarrow{\boldsymbol{y}_5} = \text{h.} \overrightarrow{\boldsymbol{y}_1} - \text{d.} \overrightarrow{\boldsymbol{x}_3} - \text{d.} \overrightarrow{\boldsymbol{x}_4}$$

Soit en projection dans le repère  $\mathcal{R}_1 = (\overrightarrow{x_1}, \overrightarrow{y_1}, \overrightarrow{z})$ :

$$\begin{cases} -h.\sin \delta_5 = -d.\cos \delta_3 - d.\cos \delta_4 \\ h.\cos \delta_5 = h - d.\sin \delta_3 - d.\sin \delta_4 \end{cases}$$

# **Q2-** Relation entre $\delta_3$ et $\delta_4$

En faisant la somme des deux équations précédentes élevées au carré on obtient :

$$h^{2} = h^{2} + 2.d^{2} + 2.d^{2}.\cos \delta_{3}.\cos \delta_{4} - 2d.h.\sin \delta_{3} - 2.d.h.\sin \delta_{4} + 2.d^{2}.\sin \delta_{3}.\sin \delta_{4}$$

$$0 = 2.d^{2} + 2.d^{2}.(\cos \delta_{3}.\cos \delta_{4} + \sin \delta_{3}.\sin \delta_{4}) - 2.d.h.(\sin \delta_{3} + \sin \delta_{4})$$

Soit finalement après simplification :

 $d.[1 + \cos(\delta_3 - \delta_4)] - h.(\sin \delta_3 + \sin \delta_4) = 0$ 

## Q3- Fonction $f(\delta_3, \delta_4)$

La fonction python s'écrit donc :

## def f(d3,d4):

return d\*(1+np.cos(d3-d4))-h\*(np.sin(d3)+np.sin(d4))

#### Q4- Fonction recherche du zéro par dichotomie

#### def Dichotomie(d3):

```
g,d = -np.pi/2,np.pi/2
                         # Bornes gauche et droite de l'intervalle de départ
while d-g>1e-6:
                         # Tant que l'intervalle [g,d] a une largeur supérieure à 10^-6
    m = (g+d)/2
                         # Calcul du milieu de l'intervalle
    yg = f(d3,g)
                         # Calcul de la valeur de f(d3,d4) à la gauche de l'intervalle
```

ym = f(d3,m)# Calcul de la valeur de f(d3,d4) au milieu de l'intervalle if yg\*ym>0: # Si yg et ym sont de même signe (Solution à droite du milieu)

# Alors on place la borne gauche au milieu g=m

# Sinon (Solution à gauche du milieu) else:

# Alors on place la borne droite au milieu d=m #

# On retourne le milieu de l'intervalle inférieur à 10^-6 return (g+d)/2

#### Q5- Relation entre ω<sub>3</sub> et ω<sub>4</sub>

La tracé obtenu montre que  $\delta_4$  est quasiment une fonction affine de  $\delta_3$ :  $\delta_4 = c.\delta_3 + \delta_0$ La droite représentant cette fonction affine passe par les points de coordonnées (0, 32) et (27, 5).

On a donc : 
$$\delta_0 = 32$$
 et :  $c = \frac{5 - 32}{27 - 0} = -1$   $\Rightarrow$   $\delta_4 \approx -\delta_3 + 32$  Or :  $\frac{\omega_4}{\omega_3} = \frac{\frac{d \delta_4(t)}{dt}}{\frac{d \delta_3(t)}{d7}} = \frac{d \delta_4}{d \delta_3}$ 

Sachant que :  $\delta_4 \approx -\delta_3 +32$  on obtient :  $\frac{\omega_4}{\omega_2} = \frac{d \delta_3}{d \delta_4} = -1$ On a donc bien :  $\omega_4 \approx -\omega_3$ 

## Q6- Coordonnée du vecteur EF

On a: 
$$\overrightarrow{EF} = \overrightarrow{EA} + \overrightarrow{AD} + \overrightarrow{DF} = -x_E \cdot \overrightarrow{x_3} - y_E \cdot \overrightarrow{y_3} - h \cdot \overrightarrow{y_1} + x_F \cdot \overrightarrow{x_4} + y_F \cdot \overrightarrow{y_4}$$

En projetant cette équation dans le repère  $\mathcal{R}_1 = (\overrightarrow{x_1}, \overrightarrow{y_1}, \overrightarrow{z})$  on obtient :

$$\overrightarrow{EF} = x_{EF}.\overrightarrow{\alpha_1} + y_{EF}.\overrightarrow{\psi_1} \qquad \text{Avec:} \begin{cases} x_{EF} = -x_E.\cos \delta_3 + y_E.\sin \delta_3 + x_F.\cos \delta_4 - y_F.\sin \delta_4 \\ y_{EF} = -h - x_E.\sin \delta_3 - y_E.\cos \delta_3 + x_F.\sin \delta_4 + y_F.\cos \delta_4 \end{cases}$$

## Q7- Calcul de la distance EF = -x

Les variables D3 et D4 étant des tableaux Numpy on peut avoir directement les tableaux Numpy XEF, YEF. D'autre part la distance EF =  $-\alpha$  est définie par  $\alpha = \sqrt{x_{EF}^2 + y_{EF}^2}$  on obtient donc le tableau X par la fonction racine carrée de Numpy : « sqrt ». D'où les trois lignes 54 à 56 du code python.

## Q8- Relation entre ω<sub>3</sub> et x

La tracé obtenu montre que EF est proche d'une fonction affine de  $\delta_3$ : EF =  $\ell = \ell_0 - x = -b.\delta_3 + x_0$ La droite représentant cette fonction affine passe par les points de coordonnées (0, 78) et (28, 0).

On a donc: 
$$x_0 = 78$$
 et:  $-b = \frac{0-78}{28-0} = -2{,}78 \text{ mm.deg}^{-1}$   $\Rightarrow$   $x \approx 2{,}78.\delta_3 - 78 + \ell_0$ 

Or: 2,78 mm.deg<sup>-1</sup> = 2,78. 
$$\frac{10^{-3}}{\pi/180}$$
 m.rad<sup>-1</sup> = 0,16 m.rad<sup>-1</sup> Et:  $\frac{\dot{x}}{\omega_3} = \frac{\frac{d x(t)}{dt}}{\frac{d \delta_3(t)}{dt}} = \frac{d x}{d \delta_3}$ 

On obtient donc: 
$$\frac{\dot{x}}{\omega_3} = \frac{d x}{d \delta_3} = 0.16 \text{ m.rad}^{-1}$$
 On a donc:  $\dot{x}(t) \approx \mathbf{b} \cdot \mathbf{\omega}_3(t)$  Avec:  $\mathbf{b} = \mathbf{0.16 \text{ m.rad}}^{-1}$ 

## Détermination du rapport de transmission du coupleur

#### Q9- Raison du train d'engrenage épicycloïdal

L'engrenage 16-17 étant extérieur et l'engrenage 17-18 étant intérieur, on a :

$$\lambda = \frac{\omega_{18/9}}{\omega_{16/9}} = \frac{\omega_{18/9}}{\omega_{17/9}} \cdot \frac{\omega_{17/9}}{\omega_{16/9}} = \frac{Z_{17}}{Z_{18}} \cdot \left( -\frac{Z_{16}}{Z_{17}} \right) \qquad \text{Soit:} \qquad \lambda = \frac{\omega_{18/9}}{\omega_{16/9}} = -\frac{Z_{16}}{Z_{18}}$$

#### Q10- Rapport de transmission du train d'engrenage épicycloïdal

Par composition des vitesses on a : 
$$\lambda = \frac{\omega_{18/9}}{\omega_{16/9}} = \frac{\omega_{18/1} + \omega_{1/9}}{\omega_{16/1} + \omega_{1/9}} \qquad \text{Soit : } \lambda = \frac{\omega_{18/1} - \omega_{9/1}}{\omega_{16/1} - \omega_{9/1}}$$

L'entrée est sur la roue dentée 16 ( $\omega_e = \omega_{16/1}$ ), la sortie sur 9 ( $\omega_s = \omega_{9/1}$ ) et 18 est fixe ( $\omega_{18/1} = 0$ ). La relation précédente devient donc :  $\lambda = \frac{0 - \omega_s}{\omega_e - \omega_s} \iff \lambda.\omega_e - \lambda.\omega_s = -\omega_s \iff \lambda.\omega_e = (\lambda - 1).\omega_s$ 

Donc finalement on obtient : 
$$\rho = \frac{\omega_s}{\omega_e} = \frac{\lambda}{\lambda - 1}$$

#### **Q11- Application numérique :**

$$\lambda = -\frac{Z_{16}}{Z_{18}} \text{ et : } \rho = \frac{\lambda}{\lambda - 1} \quad \text{Donc : } \rho = \frac{-\frac{Z_{16}}{Z_{18}}}{-\frac{Z_{16}}{Z_{18}} - 1} = \frac{Z_{16}}{Z_{16} + Z_{18}} = \frac{9}{9 + 63} \quad \text{Soit : } \rho = 0,125$$

# Partie II- Détermination des grandeurs caractéristiques de l'ensemble motoréducteur, transmission et préhenseur

#### Equation différentielle de fonctionnement du mécanisme

#### **Q12-** Equation générale du fonctionnement

Seules les inerties du motoréducteur, du coupleur, du renvoie d'angle 2 et des doigts 3 et 4 ne sont pas négligées. On en déduit l'énergie cinétique de l'ensemble des pièces en mouvement :

$$\begin{split} E_C(E/1) &= \frac{1}{2}.J_m.\omega_m^2 + \frac{1}{2}.J_C.\omega_e^2 + \frac{1}{2}.J_2.\omega_s^2 + \frac{1}{2}.J_3.\omega_3^2 + \frac{1}{2}.J_4.\omega_4^2 \\ Or: & \omega_e = r_1.\omega_m \quad \omega_s = \rho.\omega_e = r_1.\rho.\omega_e \quad \omega_3 = \omega_4 = r_2.\omega_s = \rho.r_2.\omega_e = r_1.\rho.r_2.\omega_m \\ On \ en \ d\'eduit: & E_C(E/1) &= \frac{1}{2}.J_m.\omega_m^2 + \frac{1}{2}.J_C.r_1^2.\omega_m^2 + \frac{1}{2}.J_2.\ (r_1.\rho)^2.\omega_s^2 + \frac{1}{2}.(J_3 + J_4).(r_1.\rho.r_2)^2.\omega_m^2 \end{split}$$

Soit:  $E_C(E/1) = \frac{1}{2} J \cdot \omega_m^2$  Avec:  $J = J_m + r_1^2 J_C + (r_1 \cdot \rho)^2 J_2 + (r_1 \cdot \rho \cdot r_2)^2 J_3 + J_4$ 

#### Q13- Puissance des actions de la pièce sur les doigts

Les actions de la pièce sur les doigts 3 et 4 sont des forces  $F_{Pièce\to 3}$  et  $F_{Pièce\to 4}$  appliquée respectivement en E et F. On en déduit que la somme des puissances des actions de la pièce à serrer appliquée sur le système E dans son mouvement par rapport au bâti 1, s'écrit :

$$\begin{split} P(\text{Pièce} \rightarrow \text{E/1}) &= P(\text{Pièce} \rightarrow 3/1) + P(\text{Pièce} \rightarrow 4/1) = F_{\text{Pièce} \rightarrow 3}. \ \overline{V_{\text{E} \in 3/1}} + F_{\text{Pièce} \rightarrow 4}. \ \overline{V_{\text{F} \in 4/1}} \\ Or : F_{\text{Pièce} \rightarrow 4} &= -F_{\text{Pièce} \rightarrow 3} = F(t). \ \overrightarrow{u} \quad \Rightarrow \quad P(\text{Pièce} \rightarrow \text{E/1}) = -F(t). \ \overrightarrow{u} \cdot \overline{V_{\text{E} \in 3/1}} + F(t). \ \overrightarrow{u} \cdot \overline{V_{\text{F} \in 4/1}} \\ & P(\text{Pièce} \rightarrow \text{E/1}) = -F(t). \ \overrightarrow{u} \cdot (\overline{V_{\text{E} \in 3/1}} - \overline{V_{\text{F} \in 4/1}}) \\ Soit par composition des vitesses : \qquad P(\text{Pièce} \rightarrow \text{E/1}) = -F(t). \ \overrightarrow{u} \cdot (\overline{V_{\text{E} \in 3/4}} + \overline{V_{\text{E} \in 4/1}} - \overline{V_{\text{F} \in 4/1}}) \\ Or : \overline{V_{\text{F} \in 4/1}} &= \overline{V_{\text{E} \in 4/1}} + \overline{\text{FE}} \wedge \overline{\Omega_{4/1}} \Rightarrow \qquad P(\text{Pièce} \rightarrow \text{E/1}) = -F(t). \ \overrightarrow{u} \cdot (\overline{V_{\text{E} \in 3/4}} - \overline{\text{FE}} \wedge \overline{\Omega_{4/1}}) \\ D' \text{autre part} : \overline{V_{\text{E} \in 3/4}} \cdot \overline{u} = \dot{\boldsymbol{x}}(t) \Rightarrow \qquad P(\text{Pièce} \rightarrow \text{E/1}) = -F(t). \dot{\boldsymbol{x}}(t) + F(t). \ \overrightarrow{u} \cdot \overline{\text{FE}} \wedge \overline{\Omega_{4/1}} = 0 \\ \text{On en déduit} : P(\text{Pièce} \rightarrow \text{E/1}) = -F(t). \dot{\boldsymbol{x}}(t) \qquad \text{Enfin sachant que} : \qquad \dot{\boldsymbol{x}}(t) = b.\omega_3(t) \\ \hline P(\text{Pièce} \rightarrow \text{E/1}) = -F(t). \ \boldsymbol{b}.\omega_3(t) \\ \hline \end{pmatrix}$$

#### Q14- Equation différentielle de fonctionnement du mécanisme

Les actions extérieures s'appliquant sur l'ensemble E sont le couple moteur et les actions de la pièce sur les doigts 3 et 4 ainsi que les liaisons parfaites avec le bâti. D'où la somme des puissances des actions extérieures s'appliquant sur E dans son mouvement par rapport au bâti 1 :

$$\Sigma P(Ext \rightarrow E/s1) = P(\overrightarrow{C_m(t)} \rightarrow rotor/1) + P(Pièce \rightarrow E/1) = C_m \cdot \omega_m - F(t) \cdot b \cdot \omega_3(t)$$

Tous les frottements sont négligés sauf ceux du moto réducteur (Couple  $C_{fm}(t)$  appliqué sur l'arbre moteur) et du coupleur (Couple  $C_{fe}(t)$  appliquée sur l'arbre d'entrée du coupleur). D'où la somme des puissances des actions intérieures s'appliquant sur E dans son mouvement par rapport au bâti 1 :

$$\Sigma P(\text{Int} \rightarrow \text{E/1}) = P(\overrightarrow{C_{\text{fm}}(t)} \rightarrow \text{rotor/1}) + P(\overrightarrow{C_{\text{fe}}(t)} \rightarrow \text{Entrée coupleur/1}) = -f_{\text{m}}.\omega_{\text{m}}.\omega_{\text{m}} - f_{\text{e}}.\omega_{\text{e}}.\omega_{\text{e}}$$
Or:  $\omega_{\text{e}} = r_{1}.\omega_{\text{m}}$  On en déduit:  $\Sigma P(\text{Int} \rightarrow \text{E/s1}) = -(f_{\text{m}} + r_{1}^{2}.f_{\text{e}}).\omega_{\text{m}}^{2}$ 

L'application du TEC à cet ensemble  $E : \frac{\text{d} E_{\text{C}}(\text{E/1})}{\text{dt}} = \Sigma P(\text{Ext} \rightarrow \text{E/1}) + \Sigma P(\text{Int} \rightarrow \text{E/1})$ 

Donne donc:  $J.\frac{\text{d} \omega_{\text{m}}(t)}{\text{dt}}.\omega_{\text{m}} = C_{\text{m}}.\omega_{\text{m}} - F(t).b.\omega_{3} - (f_{\text{m}} + r_{1}^{2}.f_{\text{e}}).\omega_{\text{m}}^{2}$  or:  $\omega_{3} = r_{1}.\rho.r_{2}.\omega_{\text{m}}$ 

On a donc :  $J \cdot \frac{d \omega_m(t)}{dt} + f \cdot \omega_m(t) = c_m(t) - c_r(t) \qquad \text{Avec :} \qquad \begin{vmatrix} f = f_m + r_1^2 \cdot f_e \\ c_r(t) = r_1 \cdot \rho \cdot r_2 \cdot b \cdot F(t) \end{vmatrix}$ 

#### Identification des constantes mécaniques du système

#### Q15- Fonction de transfert du moteur

La réponse du moteur à un échelon de tension de 6V est une courbe dont la valeur finale est de : 740 rad.s<sup>-1</sup> sans dépassement de cette valeur finale et avec une tangente à l'origine non horizontale.

Cette fonction de transfert est donc un premier ordre : 
$$H_m(p) = \frac{\Omega_m(p)}{U(p)} = \frac{K_m}{1 + \tau_m p}$$

Avec: 
$$K_m = \frac{740}{6} = 123 \text{ rad.s}^{-1}.V^{-1}$$

D'autre part la valeur  $0.63 \times 740 = 466.2 \text{ rad.s}^{-1}$  est obtenue à la date t = 0.01 s. Donc  $\tau_m = 0.01 \text{ s}$ 

D'où l'expression de cette fonction de transfert du moteur :  $H_m(p) = \frac{123}{1 + 0.01 \text{ p}}$  (en rad.s<sup>-1</sup>.V<sup>-1</sup>)

$$H_m(p) = \frac{123}{1 + 0.01 \cdot p}$$
 (en rad.s<sup>-1</sup>.V<sup>-1</sup>)

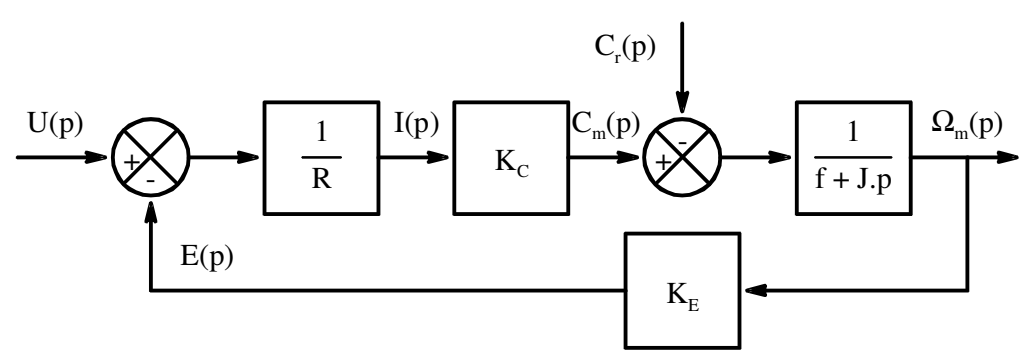
#### Q16- Schéma bloc du moteur

Les équations (a), (b), (c) et (d) passées dans le domaine de Laplace donnent :

$$u(t) = e(t) + R.i(t) \qquad \underline{\mathcal{L}} \qquad I(p) = \frac{1}{R}.(U(p) - E(p)) \qquad \qquad c_m(t) = K_C.i(t) \qquad \underline{\mathcal{L}} \qquad C_m(p) = K_C.I(p)$$

$$e(t) = K_E.\omega_m(t) \xrightarrow{\quad \boldsymbol{\mathcal{L}}} E(p) = K_E.\Omega_m(p) \quad J.\frac{d\ \omega_m(t)}{dt} + f.\omega_m(t) = c_m(t) - c_r(t) \xrightarrow{\quad \boldsymbol{\mathcal{L}}} \Omega_m(p) = \frac{1}{f+J.p}.(C_m(p) - C_r(p))$$

D'où le schéma bloc de ce moteur à courant continu :



#### Q17- Valeurs numériques de J et f

De ce schéma bloc, on en déduit la fonction de transfert du moteur pour  $C_r(p) = 0$ :

$$H_{m}(p) = \frac{\Omega_{m}(p)}{U(p)} = \frac{\frac{K_{C}}{R.(f + J.p)}}{1 + \frac{K_{C}.K_{E}}{R.(f + J.p)}} = \frac{K_{C}}{K_{C}.K_{E} + R.f + R.J.p}$$
Soit: 
$$H_{m}(p) = \frac{\frac{K_{C}}{K_{C}.K_{E} + R.f}}{1 + \frac{R.J}{K_{C}.K_{E} + R.f} \cdot p}$$

Donc: 
$$K_m = \frac{K_C}{K_C.K_E + R.f}$$
  $\Rightarrow$   $f = \frac{K_C}{R.K_m}.(1 - K_m.K_E) = \frac{7,12.10^{-3}}{2,9 \times 123}.(1 - 123 \times 7,12.10^{-3}) = 2,5.10^{-6}$ 

$$\text{Et:} \quad \tau_m = \frac{R.J}{K_C.K_E + R.f} \quad \Rightarrow \quad J = \frac{\tau_m}{R}.(K_C.K_E + R.f) = \frac{0.01}{2.9} \ .((7.12.10^{-3})^2 + 2.9 \times 2.5.10^{-6}) = 2.0.10^{-7}$$

 $f = 2.5.10^{-6} \text{ N.m.s.rad}^{-1}$ et: On a donc:

# $J = 2.0.10^{-7} \text{ kg.m}^2$

#### Q18- Inertie de l'ensemble 2, 3 et4

On note  $J_{234}$  l'inertie équivalent de 2,3 et 4 ramenée sur l'arbre moteur. On a de la question Q12 :

$$J_{234} = (r_1.\rho)^2.J_2 + (r_1.\rho.r_2)^2.(J_3 + J_4)$$

$$J_{234} = (0.1 \times 0.125)^2.4.10^{-6} + (0.1 \times 0.125 \times 0.3)^2.(2.10^{-4} + 1.10^{-4}) = 5.10^{-9} \text{ kg.m}^2$$

Or de la question Q17 on a  $J = 2,0.10^{-7} \text{ kg.m}^2$  On peut donc considérer :

Soit:  $J \approx J_m + r_1^2 J_C$ Les inerties du réducteur 2 et des doigts 3 et 4 sont donc négligeables.

## Partie III- Mise en place du modèle de la transmission de l'effort

#### Q19- TEC aux organes moteurs

Energie cinétique de l'ensemble des pièces en mouvement :  $E_C(E_1/1) = \frac{1}{2} J_m \cdot \omega_m^2 + \frac{1}{2} J_C \cdot \omega_e^2$ 

$${\rm Or:} \quad \omega_e = r_1.\omega_m \quad {\rm On \ en \ d\'eduit:} \qquad E_C(E_1/1) = \frac{1}{2}.J_m.\omega_m^2 + \frac{1}{2}.J_C.r_1^2.\omega_m^2 \quad {\rm Soit:} \qquad E_C(E_1/1) = \frac{1}{2}.J_.\omega_m^2$$

Les actions extérieures s'appliquant sur l'ensemble  $E_1$  sont le couple moteur et le couple du ressort, ainsi que les liaisons parfaites avec le bâti. D'où la somme des puissances des actions extérieures s'appliquant sur  $E_1$  dans son mouvement par rapport au bâti 1 :

$$\Sigma P(Ext \rightarrow E_1/1) = P(\overrightarrow{C_m(t)} \rightarrow rotor/1) + P(Ressort \rightarrow Sortie coupleurE_1/1) = C_m.\omega_m - C_{res}.\omega_s$$

Or: 
$$\omega_s = r_1 \cdot \rho \cdot \omega_m$$
 On en déduit:  $\Sigma P(Ext \rightarrow E_1/1) = (C_m \cdot - r_1 \cdot \rho \cdot C_{res}) \cdot \omega_m$ 

Tous les frottements sont négligés sauf ceux du moto réducteur (Couple  $\overrightarrow{C_{fm}}(t)$  appliqué sur l'arbre moteur) et du coupleur (Couple  $\overrightarrow{C_{fe}(t)}$  appliquée sur l'arbre d'entrée du coupleur). D'où la somme des puissances des actions intérieures s'appliquant sur E dans son mouvement par rapport au bâti 1:

$$\sum P(Int \rightarrow E_1/1) = P(\overrightarrow{C_{fm}(t)} \rightarrow rotor/1) + P(\overrightarrow{C_{fe}(t)} \rightarrow Entrée \ coupleur/1) = -f_m.\omega_m.\omega_m - f_e.\omega_e.\omega_e$$

Or: 
$$\omega_e = r_1 \cdot \omega_m$$
 On en déduit:  $\Sigma P(Int \rightarrow E_1/s1) = -(f_m + r_1^2 \cdot f_e) \cdot \omega_m^2 = -f_* \cdot \omega_m^2$ 

De l'application du TEC à cet ensemble  $E_1: \frac{d \; E_C(E_1/1)}{dt} = \Sigma \; P(Ext \rightarrow E_1/1) \; + \; \Sigma \; P(Int \rightarrow E_1/1) \quad \text{ on a : }$ 

$$J.\frac{d \omega_{m}(t)}{dt}.\omega_{m} = (C_{m}. - r_{1}.\rho.C_{res}).\omega_{m} - f.\omega_{m}^{2}$$
 Soit: 
$$J.\frac{d \omega_{m}(t)}{dt} + f.\omega_{m}(t) = c_{m}(t) - r_{1}.\rho.c_{res}(t)$$

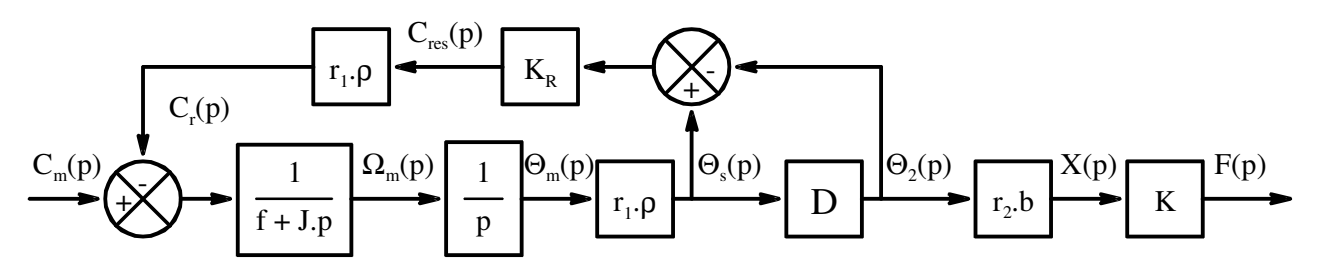
## Q20- Schéma bloc de la transmission

$$J.\frac{d\ \omega_m(t)}{dt} + f.\omega_m(t) = c_m(t) - r_1.\rho.c_{res}(t) \qquad \underline{\boldsymbol{\mathcal{L}}} \qquad \boldsymbol{\Omega_m(p)} = \frac{1}{f+J.p}.(\boldsymbol{C_m(p)} - \boldsymbol{C_r(p)})$$

D'autre part : 
$$c_{res}(t) = K_R \cdot (\theta_s(t) - \theta_2(t))$$
  $\xrightarrow{\mathcal{L}}$   $C_{res}(\mathbf{p}) = K_R \cdot (\Theta_s(\mathbf{p}) - \Theta_2(\mathbf{p}))$ 

$$\text{Et}: \ \omega_m(t) = \frac{d \ \theta_m(t)}{dt} \quad \xrightarrow{\underline{\mathcal{L}}} \quad \Theta_m(\textbf{p}) = \frac{1}{\textbf{p}} \cdot \Omega_m(\textbf{p}) \qquad \text{enfin}: \left| \begin{array}{l} \theta_s(t) = r_1.\rho.\theta_m(t) \\ \textbf{x}(t) = r_2.b.\theta_2(t) \\ F(t) = K.\textbf{x}(t) \end{array} \right| \xrightarrow{\underline{\mathcal{L}}} \left| \begin{array}{l} \Theta_S(\textbf{p}) = \textbf{r}_1.\rho.\Theta_m(\textbf{p}) \\ \textbf{X}(\textbf{p}) = \textbf{r}_2.b.\Theta_2(\textbf{p}) \\ F(\textbf{p}) = K.\textbf{X}(t) \end{array} \right|$$

On en déduit le schéma bloc de la transmission :



#### **Q21- TEC aux organes récepteurs**

Comme on néglige l'inertie des doigts 3 et 4 ainsi que celle des autres pièces des organes récepteurs, l'énergie cinétique des organes récepteurs est négligeable :  $E_C(E_2/1) \approx 0$ 

Les actions extérieures s'appliquant sur l'ensemble  $E_2$  sont le couple du ressort, les actions de la pièce sur les doigts, ainsi que les liaisons parfaites avec le bâti. D'où la somme des puissances des actions extérieures s'appliquant sur  $E_2$  dans son mouvement par rapport au bâti 1:

$$\Sigma P(Ext \rightarrow E_2/1) = P(Ressort \rightarrow Pignon de renvoie/1) + P(Pièce \rightarrow doigts/1) = c_{res}(t).\omega_2 - F(t).b.\omega_3$$

Les organes récepteurs sont des pièces en liaisons parfaites Donc :  $\sum P(Int \rightarrow E_2/1) = 0$ 

De l'application du TEC à cet ensemble  $E_2$ :  $\frac{d E_C(E_2/1)}{dt} = \sum P(Ext \rightarrow E_2/1) + \sum P(Int \rightarrow E_2/1)$ 

or:  $\omega_3 = r_2.b.\omega_2$ On en déduit :  $c_{res}(t) = r_2.b.F(t)$  $0 = c_{res}(t).\omega_2 - F(t).b.\omega_3$ 

D'autre part du schéma bloc ci-dessus on a :  $F(t) = K.r_2.b.\theta_2(t)$  Donc :  $c_{res}(t) = K.(r_2.b)^2.\theta_2(t)$ 

## Q22- Expression de la fonction de transfert D(p)

De l'équation précédente :  $c_{res}(t) = K.(r_2.b)^2.\theta_2(t)$  et sachant que :  $c_{res}(t) = K_R.(\theta_s(t) - \theta_2(t))$ 

On en déduit :  $K.(r_2.b)^2.\theta_2(t) = K_R.(\theta_s(t) - \theta_2(t))$   $\stackrel{\pounds}{\longrightarrow}$   $K.(r_2.b)^2.\Theta_2(p) = K_R.(\Theta_s(p) - \Theta_2(p))$ 

Donc la fonction de transfert  $D(p) = \frac{\Theta_2(p)}{\Theta_2(p)}$  est la constante :  $D = \frac{K_R}{K_R + (r_2 \cdot b)^2 \cdot K}$ 

## Q23- Simplification du schéma bloc

 $G_1(\mathbf{p}) = \frac{\Theta_S(\mathbf{p})}{C_m(\mathbf{p}) - C_r(\mathbf{p})} = \frac{\mathbf{r}_1 \cdot \mathbf{p}}{\mathbf{p} \cdot (\mathbf{f} + \mathbf{J} \cdot \mathbf{p})}$ Du schéma bloc précédent on a :

 $G_3(p) = \frac{F(p)}{\Theta_c(p)} = D.r_2.b.K$ 

 $C_r(p) = r_1 \cdot \rho \cdot K_R \cdot (\Theta_S(p) - \Theta_2(p))$  et:  $\Theta_2(p) = D \cdot \Theta_S(p)$ 

 $G_2(p) = \frac{C_r(p)}{\Theta_S(n)} = r_1 \cdot \rho \cdot K_R \cdot (1 - D)$ Donc:

## **Q24- Fonction de transfert de la transmission**

 $H_T(p) = \frac{F(p)}{G_T(p)} = \frac{G_1(p)}{1 + G_1(p) G_2(p)} .G_3(p)$ Du schéma bloc simplifié on en déduit :

 $H_{T}(p) = \frac{\frac{r_{1}.\rho}{p.(f+J.p)} \cdot D.r_{2}.b.K}{1 + \frac{r_{1}.\rho}{p.(f+J.p)} \cdot r_{1}.\rho.K_{R}.(1-D)} = \frac{r_{1}.\rho.r_{2}.b.K.D}{(r_{1}.\rho)^{2}.K_{R}.(1-D) + p.f + J.p^{2}}$ Soit:

Ou encore sous sa forme canonique :

 $H_{T}(p) = \frac{\frac{r_{2}.b.K.D}{r_{1}.\rho.K_{R}.(1-D)}}{1 + \frac{f}{(r_{1}.\rho)^{2}.K_{R}.(1-D)}.p + \frac{J}{(r_{1}.\rho)^{2}.K_{R}.(1-D)}}$ 

## Remarque:

Fonction de transfert du second ordre de : 
Gain statique :  $K_T = \frac{r_2.b.K.D}{r_1.o.K_R.(1-D)}$ 

Pulsation propre:  $\omega_{0T} = \sqrt{\frac{(r_1.\rho)^2.K_R.(1-D)}{J}}$ 

 $\xi_{T} = \frac{1}{2} \cdot \sqrt{\frac{(r_{1}.\rho)^{2}.K_{R}.(1-D)}{J}} \cdot \frac{f}{(r_{1}.\rho)^{2}.K_{R}.(1-D)}$ Facteur d'amortissement :

Soit:  $\xi_{\rm T} = \frac{1}{2.r_1.\rho.\sqrt{J.K_{\rm R}.(1-D)}}$ 

Sachant que :  $D = \frac{K_R}{K_R + (r_2.b)^2.K}$   $\Rightarrow$   $1 - D = \frac{(r_2.b)^2.K}{K_R + (r_2.b)^2.K}$   $\Rightarrow$   $\frac{D}{1 - D} = \frac{K_R}{K.(r_2.b)^2}$ 

On retrouve alors les résultats donnés à la partie 5 de l'énoncé :

 $\omega_{0T} = r_1.\rho.r_2.b.\sqrt{\frac{K.K_R}{J.[K_R + (b.r_2)^2.K]}} \qquad \qquad \xi_T = \frac{f}{2.r_1.\rho.r_2.b}.\sqrt{\frac{K_R + (b.r_2)^2.K}{J.K.K_R}}$  $K_{T} = \frac{1}{r_{1} \cdot \rho \cdot r_{2} \cdot h}$ 

## Q25- Détermination de la raideur K<sub>R</sub> du ressort pour éviter le dépassement de la valeur finale

Pour respecter le critère de non dépassement de la valeur finale de F(t) pour un échelon de couple  $C_m(t) = C_0$ , il faut un facteur d'amortissement supérieur ou égal à 1 :  $\xi_T \ge 1$ 

$$\begin{aligned} \text{Soit}: \quad & \frac{f}{2.r_1.\rho.r_2.b}.\sqrt{\frac{K_R + (b.r_2)^2.K}{J.K.K_R}} \geq 1 \quad \Leftrightarrow \qquad & f^2.(K_R + (b.r_2)^2.K) \geq (2.r_1.\rho.r_2.b)^2.J.K.K_R \\ & \Leftrightarrow \qquad & (f.b.r_2)^2.K \geq (2.r_1.\rho.r_2.b)^2.J.K - f^2.K_R \\ & \Leftrightarrow \qquad & K_R \leq \frac{(f.b.r_2)^2.K}{(2.r_1.\rho.r_2.b)^2.J.K - f^2} \\ \text{Or}: \quad & \frac{(f.b.r_2)^2.K}{(2.r_1.\rho.r_2.b)^2.J.K - f^2} = \frac{(2.5.10^{-6} \times 0.16 \times 0.3)^2 \times 10^4}{(2 \times 0.1 \times 0.125 \times 0.16 \times 0.3)^2 \times 2.10^{-7} \times 10^4 - (2.5.10^{-6})^2} = 0.05 \text{ N.m.rad}^{-1} \end{aligned}$$

Donc, pour respecter le critère de non dépassement de la valeur finale de F(t) pour un échelon de couple  $C_m(t) = C_0$ , il faut une raideur  $K_R$  du ressort de torsion de :  $K_R \le 0.05$  N.m.rad<sup>-1</sup>.

## Q26- Temps de réponse à 5%

Pour la valeur maximale de la raideur K<sub>R</sub> du ressort respectant le critère de non dépassement de la valeur finale :  $K_R = 0.05 \text{ N.m.rad}^{-1}$ , la pulsation propre de la fonction de transfert de la transmission est :

$$\omega_{0T} = r_1.\rho.r_2.b.\sqrt{\frac{K.K_R}{J.[K_R + (b.r_2)^2.K]}} = 0.1\times0.125\times0.3\times0.16.\sqrt{\frac{10^4\times0.05}{2.10^{-7}.[0.05 + (0.3\times0.16)^2.10^4]}} = 6.24 \text{ rad.s}^{-1}$$

D'autre part pour cette valeur maximale de  $K_R$  on a  $\xi_T = 1$ .

Donc l'abaque nous donne :  $t_{5\%}$ . $\omega_{02} = 4.8$ 

On en déduit donc le temps de réponse à 5 % de :  $t_{5\%} \approx \frac{4.8}{6.24} = 0.768 \text{ s} = 769 \text{ ms}$ 

$$t_{5\%} \approx \frac{4.8}{6.24} = 0.768 \text{ s} = 769 \text{ ms}$$

#### **Q27- Conclusion**

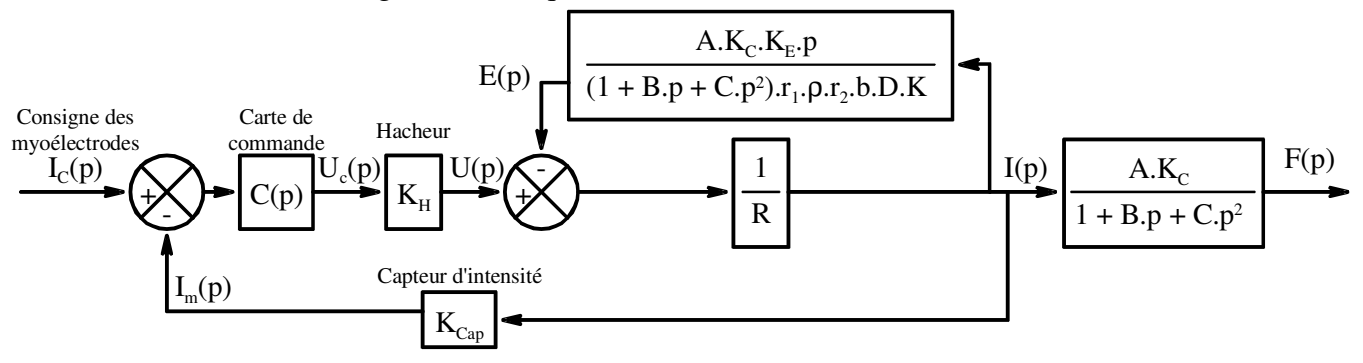
Or le cahier des charges impose outre le non dépassement de la valeur finale un temps de réponse à 5% de la phase de serrage compris entre 250 et 500 ms.

Ayant un temps de réponse minimal sans dépassement de la valeur finale  $t_{5\%} > 500$  ms, On en déduit que la transmission ne permet pas de répondre au cahier des charges avec un échelon de couple  $C_m(t) = C_0$  à l'entrée de la transmission.

# Partie IV- Commande de l'effort de serrage de la pince avec une boucle de courant

#### **Q28- Simplification du schéma bloc**

Le schéma bloc de la figure 18 est équivalent au schéma bloc ci-dessous :



Par identification avec le schéma bloc de la figure 19 on a :

D'une part : 
$$H_2(p) = \frac{K_2}{1 + B.p + C.p^2} = \frac{A.K_C}{1 + B.p + C.p^2}$$
 Soit :  $K_2 = A.K_c$ 

$$\begin{aligned} \text{D'autre part:} & \quad H_{1}(p) = K_{H}. \frac{\frac{1}{R}}{1 + \frac{A.K_{c}.K_{e}.p}{(1 + B.p + C.p^{2}).r_{1}.\rho.r_{2}.b.D.K.R}} \\ & \quad H_{1}(p) = \frac{K_{H}.(1 + B.p + C.p^{2}).r_{1}.\rho.r_{2}.b.D.K}{(1 + B.p + C.p^{2}).r_{1}.\rho.r_{2}.b.D.K.R + A.K_{c}.K_{e}.p} \\ & \quad H_{1}(p) = \frac{K_{H}.(1 + B.p + C.p^{2}).r_{1}.\rho.r_{2}.b.D.K.R + A.K_{c}.K_{e}.p}{r_{1}.\rho.r_{2}.b.D.K.R + (B.r_{1}.\rho.r_{2}.b.D.K.R + A.K_{c}.K_{e}).p + r_{1}.\rho.r_{2}.b.D.K.R.C.p^{2}} \\ & \quad \text{Soit finalement:} & \quad H_{1}(p) = \frac{\frac{K_{H}}{R}.(1 + B.p + C.p^{2})}{1 + \left(B + \frac{A.K_{c}.K_{e}}{r_{1}.\rho.r_{2}.b.D.K.R}\right).p + C.p^{2}} \\ & \quad \text{Soit:} & \quad K_{1} = \frac{K_{H}}{R} & \quad E = B + \frac{A.K_{c}.K_{e}}{r_{1}.\rho.r_{2}.b.D.K.R} & \quad F = C \end{aligned}$$

## **Q29- Justification des deux constantes de temps**

Le dénominateur de la fonction de transfert  $H_1(p)$ :  $1 + E.p + F.p^2 = 1 + 0,133.p + 1,34.10^{-3}.p^2$  a un discriminent :  $\Delta = 0,133^2 - 4 \times 1,34.10^{-3} = +0,0123$  Qui est donc positif.

On en déduit que ce polynôme a 2 zéros réels. Donc il peut donc s'écrire :  $(1 + T_1.p).(1 + T_2.p)$  avec :  $T_1 + T_2 = 0.133$  et :  $T_1.T_2 = 1.34.10^{-3}$ 

#### Q30- Choix du correcteur

D'une part, le correcteur choisi (Proportionnel intégral) introduit un intégrateur dans la FTBO. Cela permet d'obtenir une erreur nulle en réponse à un échelon de consigne.

D'autre part, en choisissant la constante de temps 0,122 s cela permet de compenser la plus grande constante de temps du dénominateur de la FTBO non corrigée.

#### **Q31- FTBF**

On a alors la FTBO : 
$$H_{BO}(p) = C(p).H_{BONC}(p) = \frac{K_{Cor.}(1+0.122.p)}{p}.\frac{3.44.(1+B.p+C.p^2)}{(1+0.011.p).(1+0.122.p)}$$

$$H_{BO}(p) = \frac{3.44.K_{Cor.}(1+B.p+C.p^2)}{p.(1+0.011.p)}$$

Du schéma bloc de la figure 19, on obtient la FTBF :  $H_{BF}(p) = \frac{F(p)}{I_C(p)} = \frac{H_{BO}(p)}{1 + H_{BO}(p)}$ .  $H_2(p)$ 

$$H_{BF}(p) = \frac{\frac{3,44.K_{Cor.}(1 + B.p + C.p^{2})}{p.(1 + 0,011.p)} \cdot \frac{11,9}{1 + B.p + C.p^{2}}}{1 + \frac{3,44.K_{Cor.}(1 + B.p + C.p^{2})}{p.(1 + 0,011.p)}} \cdot \frac{11,9}{1 + B.p + C.p^{2}}$$

$$H_{BF}(p) = \frac{40,9.K_{Cor}}{3,44.K_{Cor} + (1 + 3,44.B.K_{p}).p + (0,011 + 3,44.C.K_{p}).p^{2}}$$

$$H_{BF}(p) = \frac{11,9}{1 + \frac{1 + 3,44.B.K_{Cor}}{3,44.K_{Cor}}.p + \frac{0,011 + 3,44.C.K_{Cor}}{3,44.K_{Cor}}.p^{2}}$$

$$H_{BF}(p) = \frac{11,9}{1 + \frac{1 + 0,0574.K_{Cor}}{3,44.K_{Cor}}.p + \frac{0,011 + 4,61.10^{-3}.K_{Cor}}{3,44.K_{Cor}}.p^{2}}$$

#### Q32- Valeur maximale de K<sub>Cor</sub>

Fonction de transfert du second ordre pour laquelle on a :

Un gain statique : 
$$K_{BF} = 11.9 \text{ N.A}^{-1}$$
 Une pulsation propre :  $\omega_{0BF} = \sqrt{\frac{3.44 \cdot K_{Cor}}{0.011 + 4.61 \cdot 10^{-3} \cdot K_{Cor}}}$ 

Un facteur d'amortissement : 
$$\xi_{BF} = \frac{1}{2} \cdot \sqrt{\frac{3,44.K_{Cor}}{0,011+4,61.10^{-3}.K_{Cor}}} \cdot \frac{1+0,0574.K_{Cor}}{3,44.K_{Cor}}$$

$$\xi_{BF} = \frac{1 + 0.0574.K_{Cor}}{2.\sqrt{3.44.K_{Cor}.(0.011 + 4.61.10^{-3}.K_{Cor})}}$$

La valeur maximale de  $K_{Cor}$  ne donnant pas lieu à dépassement est telle que :  $\xi_{BF} = 1$ .

$$\xi_{\rm BF} = 1 \iff 1 + 0.0574.K_{\rm Cor} = 2.\sqrt{3.44.K_{\rm Cor}.(0.011 + 4.61.10^{-3}.K_{\rm P})}$$

$$\Leftrightarrow$$
 1 + 0,1148.K<sub>Cor</sub> + 3,295.10<sup>-3</sup>.K<sub>Cor</sub><sup>2</sup> = 0,1514.K<sub>Cor</sub> + 0,06343.K<sub>Cor</sub><sup>2</sup>

$$\Leftrightarrow$$
 0,06015. $K_{Cor}^2 + 0$ ,0366. $K_{Cor} - 1 = 0$ 

$$\Leftrightarrow$$
 ou  $K_{\text{Cor}} = -4.39$   $K_{\text{Cor}} = 3.78$  Cette valeur maximale de  $K_{\text{Cor}}$  est donc :  $K_{\text{Cor}} = 3.78 \text{ V.s}^{-1}$ 

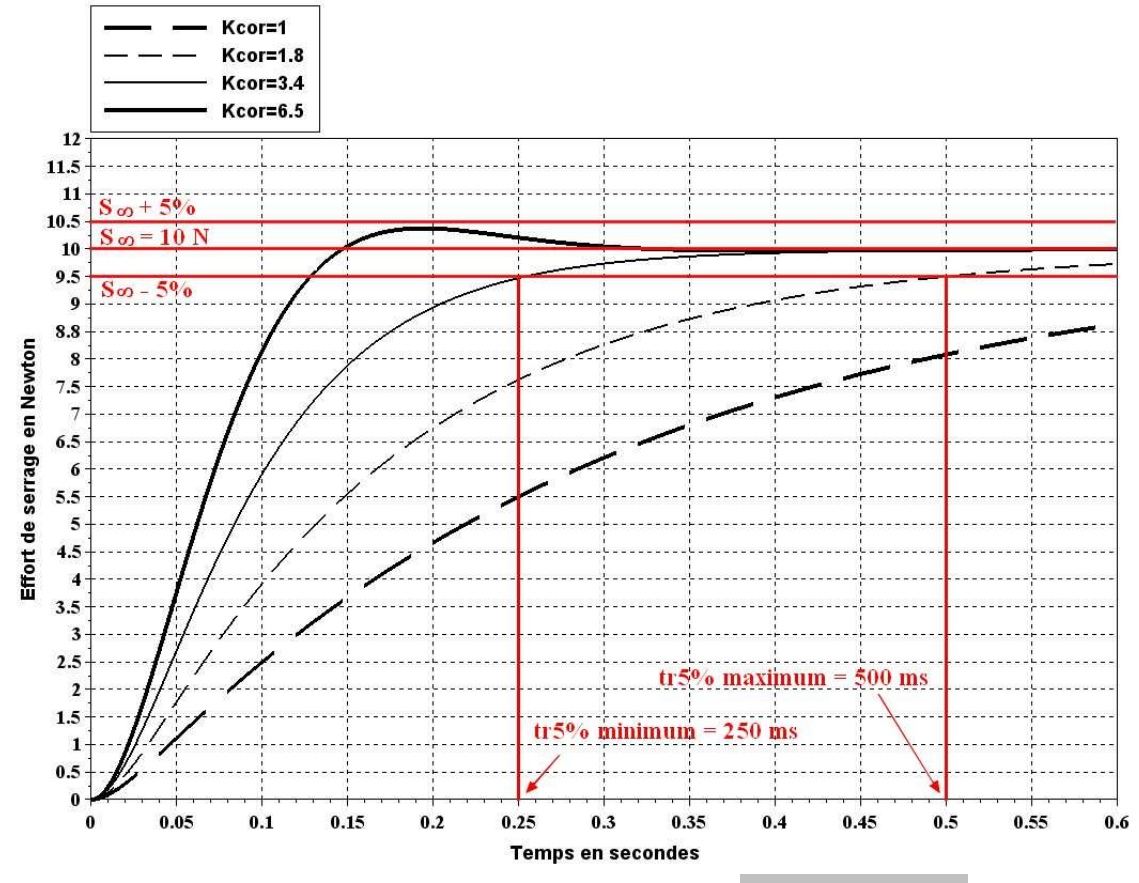
#### Q33- Temps de réponse

Pour cette valeur de 
$$K_{Cor} = 3.78 \text{ V.A}^{-1}.\text{s}^{-1}$$
:  $\omega_{0BF} = \sqrt{\frac{3.44 \times 3.78}{0.011 + 4.61.10^{-3} \times 3.78}} = 21.4 \text{ rad.s}^{-1}$ 

D'autre part on a :  $\xi_{BF} = 1$  Donc d'après l'abaque de la figure 16 :  $t_{5\%}.\omega_{0BF} = 4.8$ 

Donc réponse pour cette valeur maximale de  $K_{Cor}$  le temps de réponse est :  $t_{5\%} = \frac{4.8}{21.4} = 0.22$  s

## Q34- Temps de réponse



Plage de variation du gain statique du correcteur  $K_{Cor}$ :  $K_{Cor} \in [1,8;3,4]$